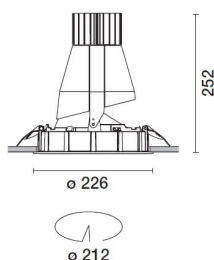


Configuraciones productos: N106.39

N106.39: Luminaria orientable - Ø 212 mm - neutral white - óptica flood - frame - 34.2W 3375.3lm - 4000K - Blanco/Aluminio



N106.39: Luminaria orientable - Ø 212 mm - neutral white - óptica flood - frame - 34.2W 3375.3lm - 4000K - Blanco/Aluminio

Luminaria circular orientable para usar con lámpara LED de tecnología C.o.B. en tono de color neutral white 4000K. Versión sin marco para instalación a ras de techo. Reflector inferior metalizado con vapor de aluminio al vacío con capa de protección antirrayado. Reflector superior de aluminio anodizado. Soportes de chapa de acero galvanizada negra. Rotación de 30° sobre el plano horizontal y de 358° alrededor del eje vertical. Luminaria con bloqueos mecánicos para el enfoque. Disipador de aluminio extruido pintado.

Las instalaciones a ras de techo están preparadas para aplicaciones de falsos techos de 12.5 mm de espesor.

| Colores | Peso (Kg) |
|----------------------|-----------|
| Blanco/Aluminio (39) | 1.9 |

Montaje
empotrable en el techo

Luminaria equipada con componentes DALI

Se conforma con EN60598-1 y regulaciones pertinentes



| | | | |
|---|-----------|---|--|
| Im de sistema: | 3375 | Life time (vida útil) LED 1: | > 50,000h - L90 - B10 (Ta 25°C) |
| W de sistema: | 34.2 | Código de lámpara: | LED |
| Im de la fuente: | 5200 | Número de lámparas por grupo óptico: | 1 |
| W de la fuente: | 31 | Código ZVEI: | LED |
| Eficiencia luminosa (lm/W, valor del sistema): | 98.7 | Número de grupos ópticos: | 1 |
| Im en modo emergencia: | - | Factor de potencia: | Ver Hoja de instrucciones |
| Flujo total de emisión en un ángulo de 90° o superior [Lm]: | 0 | Corriente de entrada: | 18 A / 250 µs |
| Light Output Ratio (L.O.R.) [%]: | 65 | Número máximo de luminarias por interruptor automático: | B10A: 21 Luminarias B16A: 34 Luminarias C10A: 35 Luminarias C16A: 57 Luminarias |
| Ángulo de apertura del haz de luz [°]: | 32° / 31° | % mínimo de dimerización: | 1 |
| CRI (mínimo): | 80 | Protección al sobrevoltaje: | 2kV Modo común y 1kV Modo diferencial |
| Temperatura de color [K]: | 4000 | Control: | DALI-2 |
| MacAdam Step: | 2 | | |

| | | | | | | | |
|--|--|-----------|------------|-----------|-------------|--|--|
| <p> $I_{\max}=10623 \text{ cd}$ $C145-325$ 90° 180° 90° 10000 0° $\alpha=31^\circ$ </p> | CIE $n_L 0.65$ $99-100-100-100-65$ $UGR <10 <10$ | | Lux | | | | |
| | DIN A_{61} | | | | | | |
| | UTE $0.65A+0.00T$ $F^*1=991$ $F^*1+F^*2=1000$ $F^*1+F^*2+F^*3=1000$ | | | | | | |
| | CIBSE $LG3 \text{ L}<1500 \text{ cd/m}^2 \text{ at } 65^\circ$ $UGR<10 \mid \text{L}<1500 \text{ cd/mq} @ 65^\circ$ | | | | | | |
| | | | | | | | |
| | h | d1 | d2 | Em | Emax | | |
| | 2 | 1.1 | 1.1 | 2032 | 2644 | | |
| | 4 | 2.2 | 2.2 | 508 | 661 | | |
| | 6 | 3.4 | 3.3 | 226 | 294 | | |
| | 8 | 4.5 | 4.4 | 127 | 165 | | |

Coefficientes de uso

| R | 77 | 75 | 73 | 71 | 55 | 53 | 33 | 00 | DRR |
|------|----|----|----|----|----|----|----|----|-----|
| K0.8 | 58 | 55 | 53 | 52 | 55 | 53 | 53 | 50 | 78 |
| 1.0 | 61 | 58 | 56 | 55 | 58 | 56 | 56 | 53 | 82 |
| 1.5 | 64 | 62 | 60 | 59 | 61 | 60 | 59 | 57 | 88 |
| 2.0 | 66 | 65 | 63 | 62 | 64 | 63 | 62 | 60 | 93 |
| 2.5 | 67 | 66 | 65 | 65 | 65 | 64 | 64 | 62 | 96 |
| 3.0 | 68 | 67 | 67 | 66 | 66 | 66 | 65 | 63 | 98 |
| 4.0 | 69 | 68 | 68 | 67 | 67 | 67 | 66 | 64 | 99 |
| 5.0 | 69 | 69 | 69 | 68 | 68 | 68 | 67 | 65 | 100 |

Curva límite de luminancia

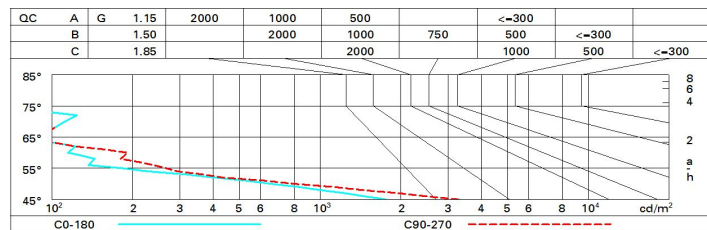


Diagrama UGR

| Corrected UGR values (at 5200 lm bare lamp luminous flux) | | | | | | | | | | | |
|---|------|----------------------|----------------------|----------------------|----------------------|----------------------|----------------------|----------------------|----------------------|----------------------|----------------------|
| Riflect.: ceil/cav walls work pl. Room dim x y | | 0.70 0.50 0.20 | 0.70 0.30 0.20 | 0.50 0.50 0.20 | 0.50 0.30 0.20 | 0.30 0.30 0.20 | 0.70 0.50 0.20 | 0.70 0.30 0.20 | 0.50 0.50 0.20 | 0.50 0.30 0.20 | 0.30 0.30 0.20 |
| viewed crosswise | | | | | | viewed endwise | | | | | |
| 2H | 2H | 7.3 | 7.8 | 7.6 | 8.1 | 8.3 | 5.8 | 6.4 | 6.1 | 6.6 | 6.8 |
| | 3H | 7.2 | 7.7 | 7.5 | 7.9 | 8.2 | 5.7 | 6.2 | 6.0 | 6.4 | 6.7 |
| | 4H | 7.1 | 7.6 | 7.4 | 7.8 | 8.1 | 5.6 | 6.1 | 5.9 | 6.4 | 6.6 |
| | 6H | 7.0 | 7.4 | 7.4 | 7.7 | 8.1 | 5.5 | 6.0 | 5.9 | 6.3 | 6.6 |
| | 8H | 7.0 | 7.4 | 7.3 | 7.7 | 8.0 | 5.5 | 5.9 | 5.8 | 6.2 | 6.6 |
| | 12H | 6.9 | 7.3 | 7.3 | 7.7 | 8.0 | 5.5 | 5.8 | 5.8 | 6.2 | 6.5 |
| 4H | 2H | 7.1 | 7.5 | 7.4 | 7.8 | 8.1 | 5.6 | 6.1 | 5.9 | 6.4 | 6.6 |
| | 3H | 6.9 | 7.3 | 7.3 | 7.7 | 8.0 | 5.5 | 5.8 | 5.8 | 6.2 | 6.5 |
| | 4H | 6.9 | 7.2 | 7.3 | 7.6 | 7.9 | 5.4 | 5.7 | 5.8 | 6.1 | 6.5 |
| | 6H | 6.8 | 7.1 | 7.2 | 7.5 | 7.9 | 5.3 | 5.6 | 5.7 | 6.0 | 6.4 |
| | 8H | 6.7 | 7.0 | 7.2 | 7.4 | 7.8 | 5.2 | 5.5 | 5.7 | 5.9 | 6.4 |
| | 12H | 6.7 | 6.9 | 7.1 | 7.3 | 7.8 | 5.2 | 5.4 | 5.6 | 5.9 | 6.3 |
| 8H | 4H | 6.7 | 7.0 | 7.2 | 7.4 | 7.8 | 5.2 | 5.5 | 5.7 | 5.9 | 6.4 |
| | 6H | 6.6 | 6.9 | 7.1 | 7.3 | 7.8 | 5.1 | 5.4 | 5.6 | 5.8 | 6.3 |
| | 8H | 6.6 | 6.8 | 7.1 | 7.2 | 7.7 | 5.1 | 5.3 | 5.6 | 5.7 | 6.2 |
| | 12H | 6.5 | 6.7 | 7.0 | 7.2 | 7.7 | 5.0 | 5.2 | 5.5 | 5.7 | 6.2 |
| 12H | 4H | 6.7 | 6.9 | 7.1 | 7.4 | 7.8 | 5.2 | 5.4 | 5.6 | 5.9 | 6.3 |
| | 6H | 6.6 | 6.8 | 7.1 | 7.2 | 7.7 | 5.1 | 5.3 | 5.6 | 5.7 | 6.2 |
| | 8H | 6.5 | 6.7 | 7.0 | 7.2 | 7.7 | 5.0 | 5.2 | 5.5 | 5.7 | 6.2 |
| Variations with the observer position at spacing: | | | | | | | | | | | |
| S = | 1.0H | 6.3 / -17.3 | | | | | 4.4 / -14.5 | | | | |
| | 1.5H | 9.1 / -18.8 | | | | | 7.2 / -18.5 | | | | |
| | 2.0H | 11.1 / -20.7 | | | | | 9.2 / -22.0 | | | | |